

# Усиление угловой дисперсии лазерных гармоник высокого порядка при взаимодействии с плотными плазменными кластерами

Л.А. Литвинов<sup>1</sup>, А.А. Андреев<sup>1, 2</sup>

<sup>1</sup>Санкт-Петербургский государственный университет, Санкт-Петербург

<sup>2</sup>Физико-технический институт имени А.Ф.Иоффе, Санкт-Петербург

## Аннотация

Периодические поверхностные решетки и фотонные кристаллы являются отличными инструментами для дифракции и направления света. Однако этот метод менее эффективен в случае экстремального ультрафиолетового света из-за высокого поглощения любого материала в этом диапазоне частот. В работе исследуется возможность усиления угловой дисперсии излучения XUV-диапазона за счет рассеяния на подходящих сферических кластерах. В рамках работы была разработана аналитическая модель с использованием диэлектрической функции Друде плазмы и теории рассеяния Ми. Модель построена в квазистатическом приближении, так как время ионизации меньше длительности импульса, что значительно меньше времени разлета плазмы. В рамках модели мы используем предельные формы функций Бесселя, поскольку нас интересуют только частицы, размеры которых меньше длины волны падающего излучения. Оценены резонансные параметры мишени для десятой гармоники Ti:Sa лазер, найдено усиление рассеянного поля в резонансном случае по сравнению с лазерной гармоникой. Используя те же условия резонанса для одного кластера, мы моделируем дифракцию на массиве таких кластеров с помощью кода CELES. Полученные результаты показывают значительное усиление рассеянного поля в резонансном случае для больших углов и соответствуют теории дифракции Брэгга-Вульфа. При помощи particle-in-cell моделирования была подтверждена квазистационарность плотности плазменных кластеров, что дает возможность значительно упростить расчет структур, подходящих для управления высокими гармониками лазерного излучения в XUV-диапазоне с помощью ионизированного кластерного газа.

## 1 Введение

## 2 Аналитическая модель

Рассмотрим одиночный сферический кластер радиуса  $a$ , облученный коротким фемтосекундным импульсом длительностью  $\tau$  и интенсивностью порядка  $I_h \approx 10^{14} \text{ W/cm}^2$ , полученной в результате преобразования лазерной гармоники с коэффициентом преобразования  $10^{-4}$ . Модель Друде даёт представление диэлектрической функции плазмы:

$$\varepsilon(\omega) = 1 - \left( \frac{\omega_{pe}}{\omega} \right)^2 \frac{1}{1 + i\beta_e}, \quad \omega_{pe} = \sqrt{\frac{4\pi e^2 n_e}{m_e}}, \quad (1)$$

где  $\omega$  — рассматриваемая гармоническая частота,  $\omega_{pe}$  — электронная плазменная частота,  $e$  и  $m_e$  — заряд и масса электрона,  $n_e = Zn_i$  — электронная плотность, где  $Z$  — средняя степень ионизации,  $n_i$  — ионная плотность.  $\beta_e = v_e/\omega$  и  $v_e$  коэффициент электрон-ионных столкновений в приближении Спитцера. В условиях твердотельной плазмы ионная плотность кластера порядка  $n_i = 6 \cdot 10^{22} \text{ cm}^{-3}$ , при этом электронная плотность кластера должна быть выше критической для заданной частоты  $n_c = \omega^2 m_e / 4\pi e^2$ . Для 10-ой гармоники лазерного

излучения  $\lambda_{10} = 83 \text{ nm}$  мы получаем условие  $n_e > n_c = 1.3 \cdot 10^{23} \text{ cm}^{-3}$ , что согласуется с условием на ионную плотность при средней степени ионизации  $Z > 2$ .

Теория Ми может быть использована для описания упругого рассеяния электромагнитных волн частицами произвольного размера в случае линейных взаимодействий, а также позволяет получить описание рассеянного поля и поля внутри рассеивающего объекта. Основной шаг — решение скалярного уравнения Гельмгольца в правильной системе координат (в данном случае сферической) и получение векторных решений. Для сферического кластера можем записать решение соответствующего уравнения, используя сферические функции Бесселя и Ханкеля  $n$ -ого порядка, включая присоединенные полиномы Лежандра [1].

Возьмем плоскую волну, распространяющуюся вдоль оси  $z$  декартовой системы координат, поляризованную вдоль оси  $x$ , что может быть записано как:

$$\mathbf{E}_i = E_0 e^{i\omega t - ikz} \mathbf{e}_x, \quad (2)$$

где  $k = \omega/c$  — волновое число,  $\mathbf{e}_x$  — единичный вектор оси  $x$ , также являющийся вектором поляризации (рис. 1).

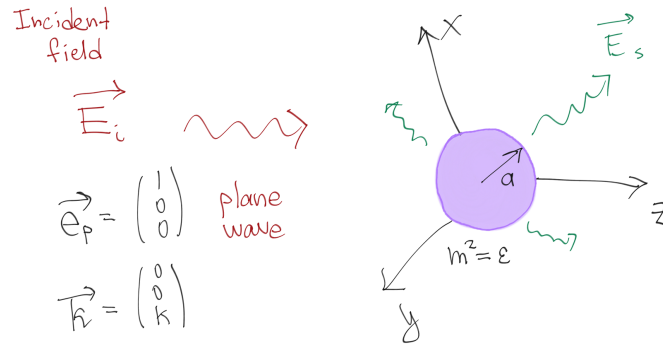


Рис. 1: Схема базовой модели.

$$\mathbf{E}_s = \sum_{n=1}^{\infty} E_n \left[ ia_n(ka, m) \mathbf{N}_{e1n}^{(3)} - b_n(ka, m) \mathbf{M}_{o1n}^{(3)} \right], \quad E_n = i^n E_0 \frac{2n+1}{n(n+1)} \quad (3)$$

Далее эту плоскую волну можно разложить в ряд, используя обобщённое разложение Фурье. В случае изотропной среды имеем следующий вид коэффициентов рассеянного поля [1]:

$$a_n(x, m) = \frac{m \psi'_n(x) \psi_n(mx) - \psi'_n(mx) \psi_n(x)}{m \xi'_n(x) \psi_n(mx) - \psi'_n(mx) \xi_n(x)}, \quad (4)$$

$$b_n(x, m) = \frac{\psi'_n(x) \psi_n(mx) - m \psi'_n(mx) \psi_n(x)}{\xi'_n(x) \psi_n(mx) - m \psi'_n(mx) \xi_n(x)}, \quad (5)$$

где  $\psi_n(\rho) = z j_n(\rho)$ ,  $\xi_n(\rho) = z h_n(\rho)$  — функции Риккати-Бесселя,  $h_n = j_n + i \gamma_n$  — сферические функции Ханкеля первого рода,  $x = ka$  — безразмерный радиус кластера,  $m = \sqrt{\epsilon}$  — комплексный коэффициент преломления (выр. 1).

## 2.1 Асимптотическое приближение коэффициентов рассеянного поля

В случае сферической симметрии амплитуда рассеянного поля максимальна для  $m^2 = -(n+1)/n$  при  $ka \ll 1$ , что даёт соответствующий набор резонансных плотностей в бесстолкновительном случае  $n_e = n_c(2n+1)/n$ .

Это можно получить, используя нулевое асимптотическое приближение функций Бесселя [1], в результате чего коэффициенты (выр. 4 и 5) значительно упрощаются:

$$a_n(x \rightarrow 0, m) = \left(1 + i \frac{m^2 n + n + 1}{n(m^2 - 1)} \frac{C_n}{x^{2n+1}}\right)^{-1}, \quad b_n(x \rightarrow 0, m) = 0 \quad (6)$$

$$C_n = \frac{2^{2n+1} \Gamma(2n) \Gamma(2n+2)}{\Gamma(n+1) \Gamma(n+2)}$$

Такое приближение можно использовать вместо выр. 4 и 5 для объектов достаточно маленького радиуса, но уже при  $ka \sim 1$  оно перестаёт быть разумным, особенно для больших  $n$ . Вместо него в таком случае лучше подходит аппроксимация первого порядка, полученная с помощью первого приближения функций Бесселя [1]:

$$a_n(x, m) = \left(1 + i \frac{2(m^2 n + n + 1)(4n(1+n) - 3) - (m^2 - 1)(3 + n(5 + 2n + m^2(2n - 1)))x^2}{(m^2 - 1)(2n + 3)(n + 1)(4n + 6 - (m^2 + 1)x^2)} \frac{C_n}{x^{2n+1}}\right)^{-1} \quad (7)$$

$$C_n = \frac{2^{2n+1}}{\pi} \Gamma\left(n - \frac{1}{2}\right) \Gamma\left(n + \frac{5}{2}\right)$$

На рис. 2 показана зависимость коэффициента рассеяния от электронной плотности для двух различных значений радиуса в рамках нулевого асимптотического приближения и сравнение первого и нулевого приближений. Видно, что с ростом  $n$  ширина резонансного пика быстро уменьшается, а также большим радиусам (безразмерным)  $ka$  соответствует большая их ширина. Помимо этого, с ростом радиуса растёт и значение резонансной плотности, что видно на рис. 3.

Такие аппроксимации позволяют оценить резонансные параметры кластера, в частности электронную плотность и радиус. Устремив выр. 7 к единице, можем определить выражение для квадрата резонансного коэффициента преломления, что в свою очередь даёт выражение на резонансную электронную плотность в критических единицах при помощи выр. 1:

$$m^2(x, n) = \frac{8n^2(n+1) - (6n+3)x^2 - 6n}{2nx^2(2n-1)} \left[1 + \sqrt{1 - \frac{4n(n-3+4n^2(n+2))(x^2+4n-2)x^2}{(8n^2(n+1) - (6n+3)x^2 - 6n)^2}}\right] \quad (8)$$

$$\frac{n_e}{n_c} = (1 - m^2)(1 + i\beta_e) \quad (9)$$

В соответствии с выр. 8 и 9 резонанс рассеянного поля при  $\lambda_{10} = \lambda_L/10 = 83$  нм отвечает резонансной электронной плотности  $n_{el} \approx 5.7 \cdot 10^{23} \text{ см}^{-3}$  для  $ka = 0.7$  и  $n_{el} \approx 3.9 \cdot 10^{23} \text{ см}^{-3}$  для  $ka = 0.3$ , со средними степенями ионизации  $Z|_{ka=0.7} \approx 9$  и  $Z|_{ka=0.3} \approx 6$ .

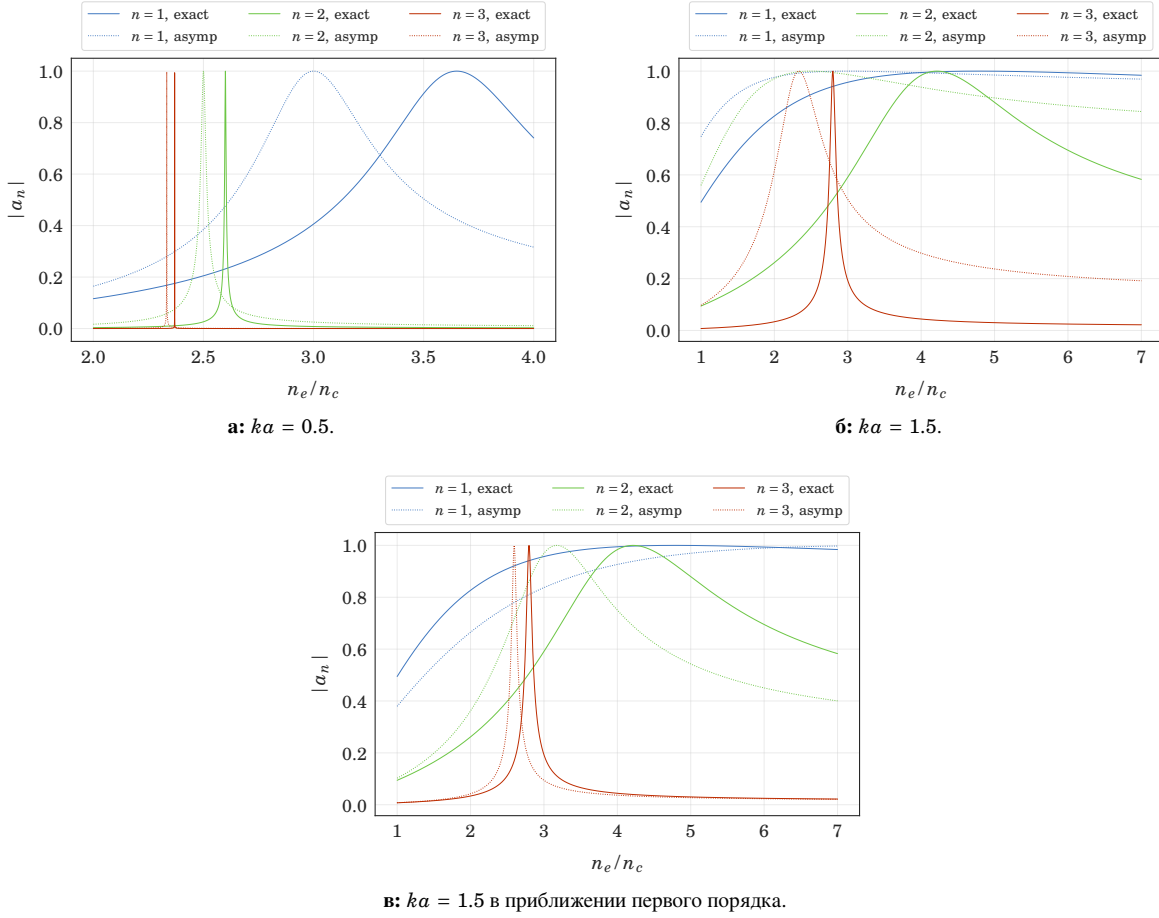
## 3 Стационарные вычисления

### 3.1 Одиночный кластер

### 3.2 Оправдание стационарной модели

В общем случае расчет взаимодействия высокоинтенсивного импульса лазерного излучения с группой плотных сферических кластеров, расположенных в трехмерном пространстве, требует длительных и сложных нестационарных вычислений ввиду того, что распределение электронной плотности кластеров в результате взаимодействия с лазерным импульсом изменяется с течением времени.

Для проверки масштабов изменения электронной плотности в рассматриваемом случае было проведено моделирование эволюции распределения электронной плотности в одномерном пространстве отдельного кластера. Для моделирования был взят код LPIC++ [2].



**Рис. 2:** Коэффициенты сферических гармоник в приближении нулевого и первого порядка,  $\beta_e = 0$ . Кривые “exact” построены с использованием полных разложений.

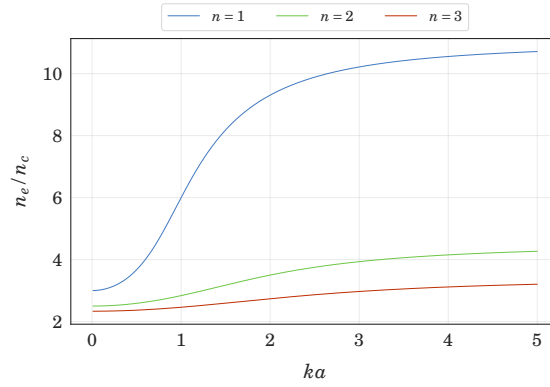
В качестве источника был задан фронтальный линейно поляризованный лазерный импульс с длиной волны  $\lambda_{10} = 83 \text{ nm}$ , длительностью  $\tau$  и интенсивностью  $I_{10} = 10^{14} \text{ W/cm}^2$ . Период лазерного излучения, соответствующий лазерной гармонике, равен  $T = \lambda_L / c \approx 2.8 \text{ fs}$ , поэтому длина импульса в моделировании была взята  $\tau = 10T = 28 \text{ fs}$ , время моделирования  $t = 20T = 56 \text{ fs}$ . Плазма представлена 2000 частицами в каждой ячейке, занятой мишенью, расположенной в центре бокса шириной  $w_{box} \approx 3\lambda_{10}$ ; электронная плотность мишени в критических единицах равна  $n_{el} = 4.4n_c$ . Относительная амплитуда импульса  $\alpha_h$  равна:

$$I_{10}\lambda_{10}^2 = \alpha_h^2 \times 1.37 \cdot 10^{18} \text{ W} \cdot \mu\text{m}^2/\text{cm}^2 \quad (10)$$

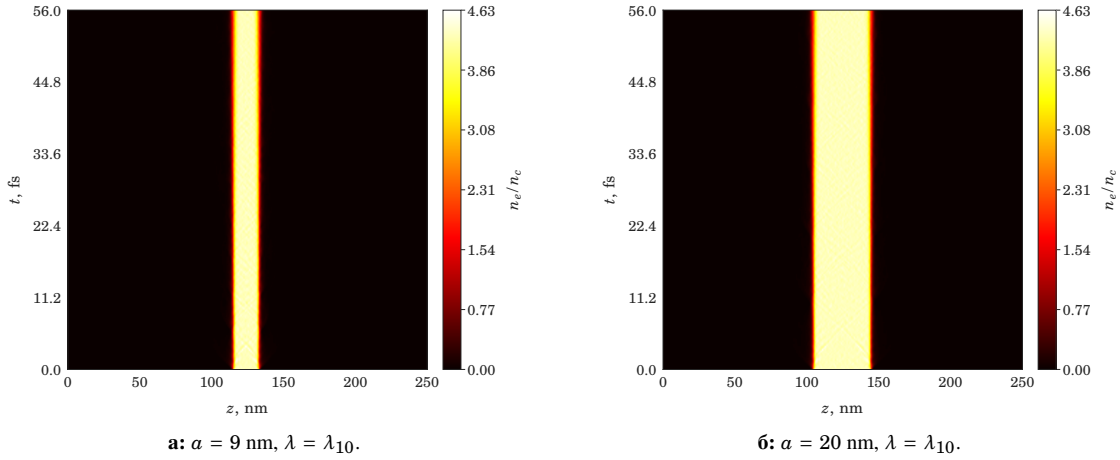
$$\alpha_h = \frac{\lambda_{10}}{\sqrt{1.37 \cdot 1} \mu\text{m}} \approx 7.1 \cdot 10^{-4}$$

Также было рассмотрено взаимодействие с первой гармоникой, для которой  $\lambda_L = 830 \text{ nm}$ ,  $I_L = 10^{18} \text{ W/cm}^2$ , что дает относительную амплитуду импульса  $\alpha_L \approx 0.71$ . В качестве мишеней были взяты одиночные кластеры радиуса  $a$  от 9 до 60 nm.

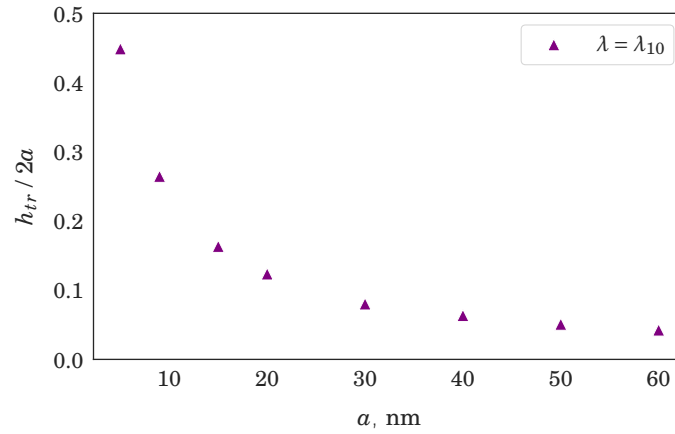
По полученным результатам моделирования была рассчитана средняя суммарная толщина переходного слоя в процессе взаимодействия со внешним импульсом  $h_{tr}$  в зависимости от радиуса мишени  $a$  (рис. 5). Условие квазистационарности в таком случае принимает вид  $h_{tr} \ll 2a$ , что соблюдается при  $a \geq 20 \text{ nm}$ . Для ближайших по порядку гармоник величины  $h_{tr}$  при аналогичных радиусах слабо отличаются.



**Рис. 3:** Резонансная электронная плотность в зависимости от радиуса. Кривые посчитаны при помощи выр. 8;  $\beta_e = 0$ .



**Рис. 4:** Взаимодействие одномерной мишени с 10-ой гармоникой,  $\lambda_{10} = 83 \text{ nm}$ .



**Рис. 5:** Асимптотика средней суммарной толщины переходного слоя при  $0 \leq t \leq 10T$  относительно радиуса мишени.

### 3.3 Множество кластеров

В рамках стационарной теории рассеяния Ми было рассмотрено множество кластеров в виде протяженной цилиндрической газовой струи (в дальнейшем мишень) с регулярной и квазирегулярной пространственной конфигурацией для исследования возможности рассеяния такими структурами на большие углы жёсткого ультрафиолетового излучения, в частности соответствующего гармоникам высокого порядка.

В качестве регулярного распределения была выбрана примитивная кубическая решетка с расстоянием между соседними узлами  $d$ . Квазирегулярное распределение было построено при помощи внесения случайных сдвигов координат узлов с произвольной нормой сдвига в диапазоне  $0 \leq |\Delta d| \leq \eta d$ , где  $0 \leq \eta < 0.5$  — степень нерегулярности. Тогда при кратном  $d = b\lambda$ ,  $b \in \mathbb{N}$  расстояние между соседними узлами после внесения сдвигов:

$$b(1-\eta)\lambda \leq d_{\text{irreg}} \leq b(1+\eta)\lambda \quad (11)$$

В квазирегулярном случае моделирование было проведено несколько раз с целью усреднения и получения обобщенной картины рассеянного поля. Для вычислений был использован программный код CELES [3].

#### 3.3.1 Условие дифракции для решетки в пространстве

Условие дифракции в случае трехмерной регулярной решетки при упругом рассеянии принимает вид [4]:

$$\begin{cases} (\mathbf{D}_x, \mathbf{e}_{\text{out}} - \mathbf{e}_{\text{in}}) = h\lambda \\ (\mathbf{D}_y, \mathbf{e}_{\text{out}} - \mathbf{e}_{\text{in}}) = k\lambda \\ (\mathbf{D}_z, \mathbf{e}_{\text{out}} - \mathbf{e}_{\text{in}}) = l\lambda \end{cases} \quad (12)$$

где  $h, k, l$  — индексы Миллера представленные целыми числами,  $\mathbf{D}_i$  — вектор, соединяющий соседние узлы решетки вдоль направления  $i$ ,  $\mathbf{e}_{\text{in}}$  — единичный вектор направления падающего излучения,  $\mathbf{e}_{\text{out}}$  — единичный вектор направления прошедшего излучения. Переходя к сферическим координатам, связанными с  $\mathbf{e}_{\text{in}}$  так, что в декартовом представлении  $\mathbf{e}_{\text{in}} = \mathbf{e}_z$ , выр. 12 можно преобразовать следующим образом, учитывая, что  $|\mathbf{D}_x| = |\mathbf{D}_y| = |\mathbf{D}_z| = d$  для рассматриваемой кубической решетки:

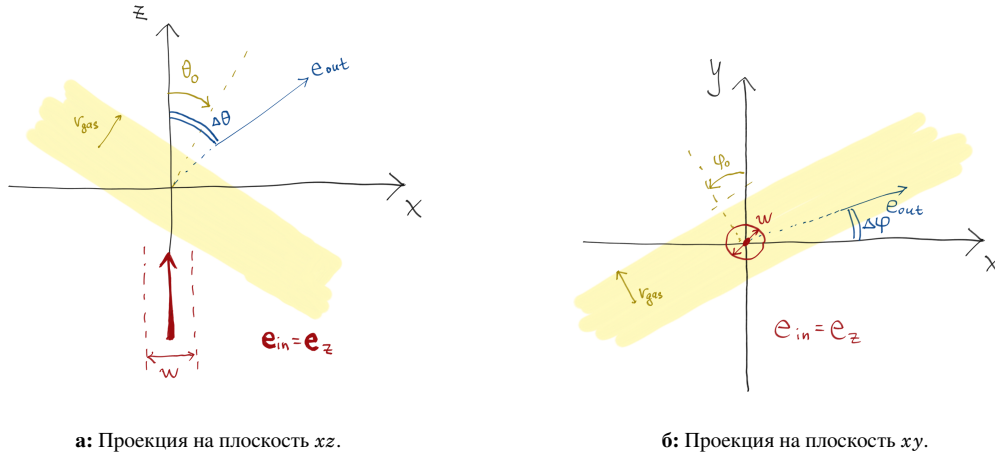
$$\begin{cases} \cos\theta_0 \sin\Delta\theta \cos(\Delta\varphi - \varphi_0) - \sin\theta_0 (\cos\Delta\theta - 1) = \frac{h'\lambda}{d} \\ \sin\Delta\theta \sin(\Delta\varphi - \varphi_0) = \frac{k'\lambda}{d} \\ \sin\theta_0 \sin\Delta\theta \cos\Delta\varphi + \cos\theta_0 (\cos\Delta\theta - 1) = \frac{l'\lambda}{d} \end{cases} \quad (13)$$

где  $\Delta\theta, \Delta\varphi$  — углы, характеризующие отклонение направления дифрагировавшего излучения относительно падающего,  $\theta_0, \varphi_0$  — углы, характеризующие поворот мишени (решетки) в пространстве,  $h', k', l'$  — новые индексы Миллера (рис. 6). Используя выр. 13, можем получить угловое распределение дифрагировавшего излучения при заданных начальных параметрах  $d, \lambda, \theta_0, \varphi_0$ .

Для того, чтобы проверить достоверность полученной теории, смоделируем стационарное взаимодействие в случае регулярной решетки с радиусом кластеров  $a = 50$  nm и  $d = 3\lambda_{10}$  при  $\varphi_0 = 0^\circ$ ,  $\theta_0 = 15^\circ$ ,  $\lambda = \lambda_{10} = 83$  nm, ширина гауссова пучка  $w = 800$  nm, радиус цилиндра, ограничивающего решетку (радиус газовой струи)  $r_{\text{gas}} = a + 12d \approx 2$   $\mu\text{m}$ , где множитель при  $d$  — количество узлов решетки между центральной осью и границей цилиндра. Несмотря на то, что в реальных условиях гауссов пучок 10-ой гармоники Ti:Sa лазера с шириной 800 nm получить практически невозможно, в силу стационарности вычислений отношение  $w/r_{\text{gas}}$  может быть корректно масштабировано при  $w \ll 2r_{\text{gas}}$ . Использованное малое значение  $w$  в таком случае ускоряет вычисления, но принципиально не изменяет их результат.

Определим наиболее интенсивные направления рассеяния при помощи следующей интегральной характеристики:

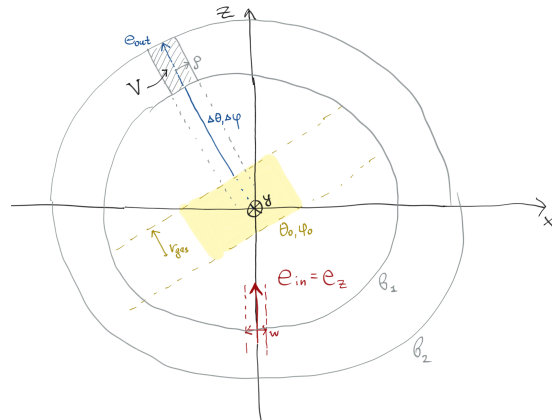
$$E_{\text{int}}(V, \eta) = \int_V (|\mathbf{E}_s|_{\eta=\eta}^2) dV, \quad (14)$$

а: Проекция на плоскость  $xz$ .б: Проекция на плоскость  $xy$ .

**Рис. 6:** Общая схема взаимодействия падающего излучения с решеткой.  $\theta_0$ ,  $\varphi_0$  — характеризуют углы поворота мишени в пространстве,  $\Delta\theta$ ,  $\Delta\varphi$  — углы отклонения направления дифрагировавшего излучения относительно падающего,  $r_{\text{gas}}$  — радиус газовой струи, представляющей мишень,  $w$  — диаметр гауссова пучка падающего излучения.  $\Delta\theta$  отсчитывается вокруг  $y$  против часовой стрелки,  $\Delta\varphi$  — вокруг  $z$  против часовой стрелки.

В данном случае выр. 14 представляет собой интегрирование интенсивности рассеянного поля, вычисленного как квадрат модуля напряженности рассеянного поля (без учета нормирующего множителя) в области пространства  $V$  для решётки, обладающей нерегулярностью  $\eta$ , то есть является энергией, рассеянной решёткой в область  $V$ . Эта область должна быть задана так, чтобы характеризовать некоторое направление в пространстве, и, как правило, для этой цели используется область в виде конуса, образованного некоторым раствором телесного угла  $\delta\Omega$  и направлением при помощи углов  $\Delta\theta$ ,  $\Delta\varphi$ . Для рассматриваемой задачи необходимо исключить из вычисления ближнее поле, ввиду чего накладывается дополнительное ограничение  $V$  внутренностью сферического слоя пространства с границами  $b_1$  и  $b_2$ , где  $b_2$  — граница области численного моделирования,  $b_1$  — больше радиуса сферы, описанной вокруг мишени. Хотя газовая струя является протяженным объектом, в моделировании используется только её сегмент, так как падающий пучок ограничен и рассеяное поле слабо зависит от частей струи, удаленных от области падения пучка, что позволяет описать вокруг такого сегмента соответствующую окружность.

Пересечение конической области и сферического слоя вдали от мишени можно приблизить цилиндром,

Рис. 7: Схематическое изображение области  $V$  (выр. 16).

считая  $\rho \approx 0.5b_2 \cdot \delta\Omega$ , где  $\rho$  — радиус цилиндра. В таком случае, при помощи вспомогательного вектора  $\mathbf{c}$  (выр. 15) получаем область  $V$  (рис. 7):

$$\mathbf{c} = \mathbf{c}(x, y, z, \Delta\theta, \Delta\varphi) = \begin{pmatrix} c_x \\ c_y \\ c_z \end{pmatrix} = M_y(\Delta\theta)M_z(\Delta\varphi) \begin{pmatrix} x \\ y \\ z \end{pmatrix}, \quad (15)$$

$$V(\rho, b_1, b_2, \mathbf{c}) = \left\{ x, y, z : c_x^2 + c_y^2 \leq \rho^2, b_1^2 \leq x^2 + y^2 + z^2 \leq b_2^2 \right\}, \quad (16)$$

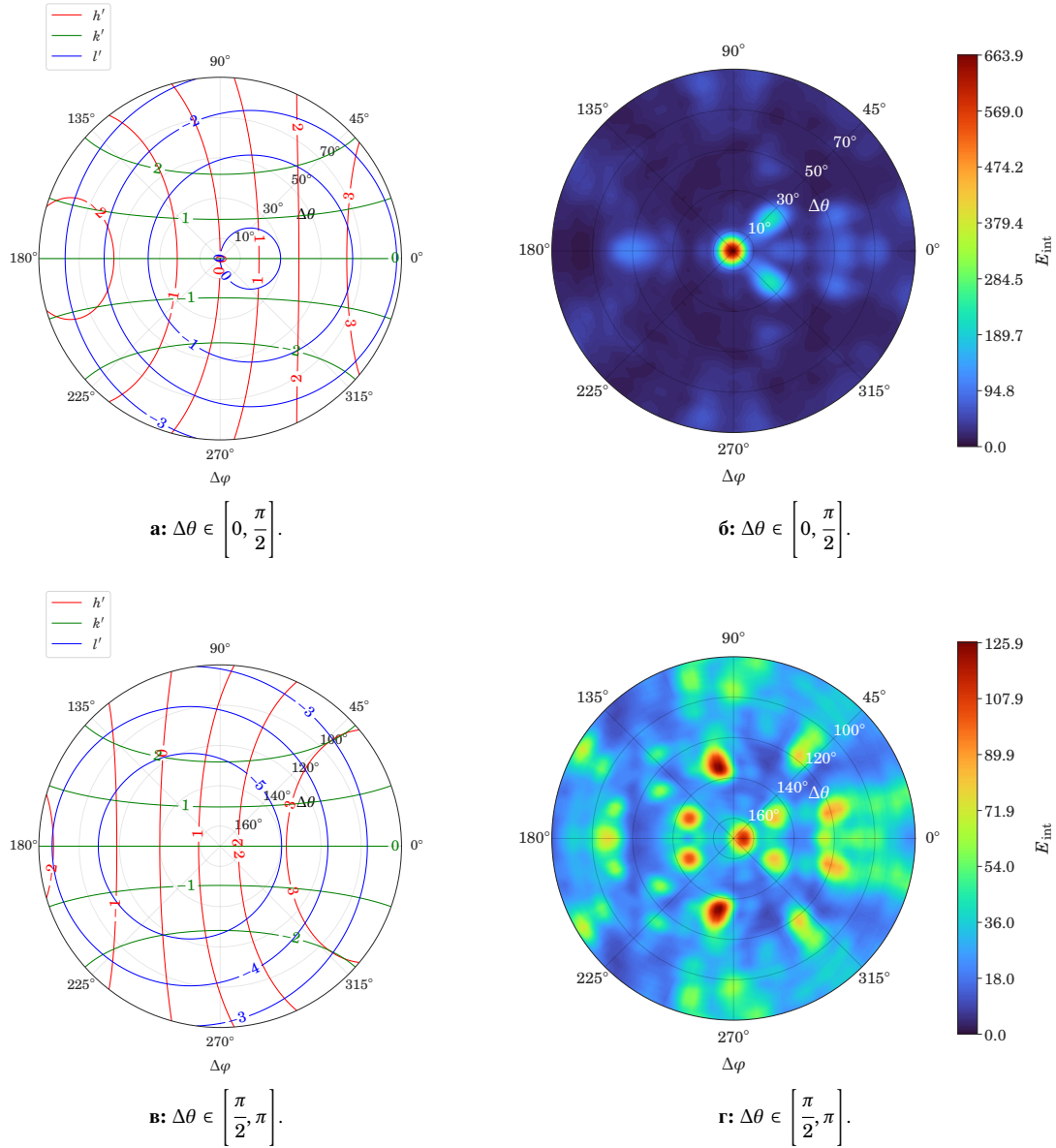
где  $M_y(\Delta\theta)$  — матрица поворота вокруг декартовой оси  $y$  на угол  $\Delta\theta$  против часовой стрелки,  $M_z(\Delta\varphi)$  — матрица поворота вокруг декартовой оси  $z$  на угол  $\Delta\varphi$  против часовой стрелки. В дальнейшем взяты значения  $\rho = w/4$ ,  $b_1 = 4r_{\text{gas}}$  где  $w$  — ширина гауссова пучка падающего поля,  $r_{\text{gas}}$  — радиус газовой струи, формирующей мишень.

Также построим пересечения целочисленных решений для  $h', k', l'$  с заданными  $\theta_0, \varphi_0$  в осях  $\Delta\varphi, \Delta\theta$  при помощи выр. 13 (рис. 8а и 8в). Сравнивая полученные результаты можно заметить, что наиболее интенсивные направления дифракции по  $E_{\text{int}}$  отвечают наиболее близкому расположению кривых, соответствующих целочисленным значениям индексов Миллера.

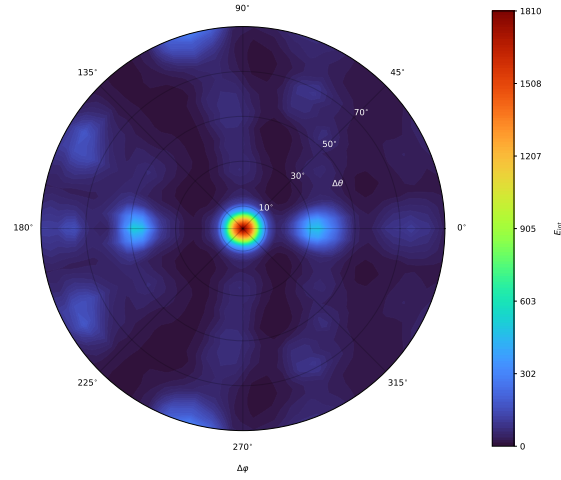
### 3.3.2 Рассеяние волнового пакета

$$E_0(\lambda) = \frac{1}{\sigma\sqrt{2\pi}} e^{-\frac{1}{2}\left(\frac{\lambda-\mu}{\sigma}\right)^2} \quad (17)$$

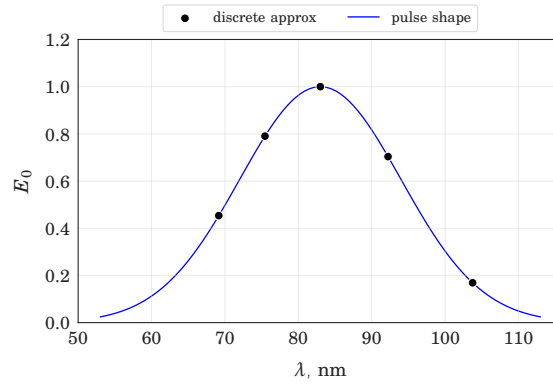




**Рис. 8:** Вычисление  $E_{\text{int}}$  по выр. 14 (а, в) и решение выр. 13 в целых индексах Миллера для  $a = 50 \text{ nm}$  и  $d = 3\lambda_{10}$  при  $\varphi_0 = 0^\circ$ ,  $\theta_0 = 15^\circ$ ,  $\lambda = \lambda_{10} = 83 \text{ nm}$ , радиус цилиндрической области  $\rho = 200 \text{ nm}$  (б, г). Для наглядности построение было поделено на две проекции полусферических областей по  $\Delta\theta$  с полюсами в 0 и  $\pi$  соответственно.



$$\mathbf{a}: \Delta\theta \in \left[0, \frac{\pi}{2}\right], \theta_0 = 15^\circ.$$



**б:** Амплитуда элементов гауссова волнового пакета напряженности поля в зависимости от длины волны.

**Рис. 9:** Рассеяние гауссова волнового пакета, аппроксимированного дискретно гармониками с 8-ой по 12-ую с длинами волн  $\lambda_i = \lambda_L / i$ ,  $\lambda_L = 830$  nm. Синяя кривая на б представляет собой нормальное распределение  $N(\mu, \sigma)$  с  $\mu = 83$  nm,  $\sigma = 10$  nm, черные точки — дискретная аппроксимация волнового пакета, гармоники с 12-ой по 8-ую слева направо

## Список литературы

- [1] C. Bohren and D. R. Huffman, *Absorption and scattering of light by small particles*. Wiley Science Paperback Series, 1998.
- [2] R. E. W. Pfund, R. Lichters, and J. M. ter Vehn, “LPIC++ a parallel one-dimensional relativistic electromagnetic particle-in-cell code for simulating laser-plasma-interaction,” in *AIP Conference Proceedings*, AIP, 1998.
- [3] A. Egel, L. Pattelli, G. Mazzamuto, D. Wiersma, and U. Lemmer, “CELES: CUDA-accelerated simulation of electromagnetic scattering by large ensembles of spheres,” *J Quant Spectrosc Radiat*, vol. 199C, pp. 103–110, 2017.
- [4] C. Kittel, *Introduction to Solid State Physics*. Wiley, New York, 1986.